

並列FFTアルゴリズムと並列計算機への実装

5F-8

武田利浩*, 丹野州宣*, 堀口進**

*山形大学工学部電子情報工学科 **北陸先端科学技術大学院大学

1. はじめに

高速フーリエ変換 (FFT) (1) はデジタル信号処理の基本技術としてスペクトル解析, デジタルフィルタ, 音声認識, 画像処理などに広く利用され, その応用分野はますます広がるばかりでなく, 処理されるデータ量も増大の一途をたどっており, その高速処理が強く望まれている (2). FFTを高速に処理するための一つの方法は, FFTに内包されている並列性を巧みに利用し, 超並列計算機で処理することである (3).

本文では, 基数4のFFTを実現する2つの並列FFTアルゴリズム, Stage-by-stage法とMulti-stage法について述べ, Stage-by-stage法をCM-5およびnCUBEへ実装した結果についても示す.

2. 基数4のFFTアルゴリズム

N 個の複素入力データ列を $g(n)$, $0 \leq n \leq N-1$ で表す. $N=4^m$ の場合, n を4進 m 桁で表示すれば $g(n)$ は $g(n_{m-1}, \dots, n_1, n_0)$ と表すことができる. ただし, $0 \leq n_i \leq 3$ である. また, $g(n)$ のフーリエ係数を $G(n)$ とすれば, $G(n)$ も $G(n_{m-1}, \dots, n_1, n_0)$ と表示することができる.

ここで, $n_{i-1}=0, 1, 2, 3$ をパラメータとして, $g_i(n_{i-1})=g_i(n_0, n_1, \dots, n_{i-1}, k_{m-i-1}, \dots, k_0)$ はFFTの第 i 段目の出力を表し, $g_0(k_{m-1}, \dots, k_1, k_0)$ は初期データ $g(k_{m-1}, \dots, k_1, k_0)$ を表すとすれば, フーリエ係数 $G(n)=g_m(n_0, n_1, \dots, n_{m-2}, n_{m-1})$ は次のような基数4のバタフライ演算と呼ばれる加減算を第 m 段目 (最終段) まで計算することにより求められる.

$$\begin{aligned} g_i(0) &= g_{i-1}(0)v_0 + g_{i-1}(1)v_1 + g_{i-1}(2)v_2 + g_{i-1}(3)v_3 \\ g_i(1) &= g_{i-1}(0)v_0 - j g_{i-1}(1)v_1 - g_{i-1}(2)v_2 + j g_{i-1}(3)v_3 \\ g_i(2) &= g_{i-1}(0)v_0 - g_{i-1}(1)v_1 + g_{i-1}(2)v_2 - g_{i-1}(3)v_3 \\ g_i(3) &= g_{i-1}(0)v_0 + j g_{i-1}(1)v_1 - g_{i-1}(2)v_2 - j g_{i-1}(3)v_3 \end{aligned} \quad (1)$$

ここで, $v_i = W^{h \cdot i}$, $i=0, 1, 2, 3$ であり, $j = \sqrt{-1}$ である. ただし, $h = (4^{m-i}n_0 + 4^{m-i-1}n_1 + \dots + 4^{m-2}n_{i-2})$ である.

Parallel FFT Algorithms and Implementation to Massively Parallel Computers

*Department of Electrical and Information Engineering, Yamagata University, Yonezawa, Yamagata 992, Japan

**Japan Advanced Institute of Science and Technology, 15 Asahidai, Tatunokuti, Nomi, Ishikawa 923-12, Japan

3. プロセッサアレイの構成

本文では $P=4^q$ 個の演算要素 (PE) から成る SIMD型並列計算機を仮定する. 各PEは, $PE(z_{q-1}, z_{q-2}, \dots, z_1, z_0)$ と表す. ただし, $m \geq q+1$ である. 各PEはFFTを計算するための演算機能および計算に必要なデータを格納するためのローカルメモリを備えているものとする. 通信ネットワークは, 任意のPE間で自由に通信可能なグローバルネットワークを持つものとする. 通信において, データが $atomic$ type 単位で行う場合と $struct$ や $array$ 全体を一括して転送する場合を考え, それぞれ $atomic$ 転送, 一括転送と呼ぶことにする.

4. 並列FFTアルゴリズム

4.1. データ割付法

1個のPEに4の冪乗個のデータを割り付けることにより基数4の並列FFTを実現する. データの割付法としては相似割付法と重畳割付法と呼ぶ2通りの方法を考える. 相似割付法は, 上位 q 桁が等しいデータを同じPEに格納する方法であり, データ $g(n_{m-1}, n_{m-2}, \dots, n_1, n_0)$ を $PE(n_{m-1}, n_{m-2}, \dots, n_{m-q})$ に割り付ける. 一方, 重畳割付法は, 下位 q 桁が等しいデータを同じPEに重ねて格納する方法であり, データ $g(n_{m-1}, n_{m-2}, \dots, n_1, n_0)$ を $PE(n_{q-1}, n_{q-2}, \dots, n_1, n_0)$ に割り付ける.

4.2. Stage-by-stage法 - アルゴリズム1

各PEが 4^{m-q} のデータを格納しているため $(m-q)$ 段バタフライ演算を行えるが, 本方法は第1段~第 q 段までは1段毎のバタフライ演算とデータの転送を繰り返すことにより, 処理を実行する. そのアルゴリズムは図1のようになる. ここで, $FFT_stage_i()$ は, i 段目のFFTを行う関数である. $ReMapping()$ は, データを再配列する関数である. この時, 転送の方式でアルゴリズムを分け, $atomic$ 転送を用いたアルゴリズムをアルゴリズム1a, 一括転送を用いたアルゴリズムをアルゴリズム1bと呼ぶこととする.

4.3. Multi-stage法 - アルゴリズム2

各PEが 4^{m-q} のデータを格納しているため $(m-q)$ 段バタフライ演算を行ない, その結果 $g_i(n_0, n_1, \dots, n_{m-q-1}, k_{q-1}, \dots, k_1, k_0)$ を $PE(n_0, \dots, n_{m-q-1}, k_{2q-m-1}, \dots, k_0)$ に転送するようなアルゴリズムも考えられる. そのアルゴリ

ズムは図2のように記述される。

5. 通信コストの評価

ここでは、本アルゴリズムの通信コストを評価する。P=42,N=43としたときの、再割付回数とグローバルネットワークによる通信回数を表1に示す。Multi-stage法は、再割付回数は少なくなるが、通信回数については一括転送を採用したStage-by-stage法が最も少なくなる。

次に、アルゴリズム1の並列計算機への実装について述べる。使用するCM-5とnCUBEのPE数はそれぞれ、64個と256個である。アルゴリズム1の1aおよび1bについて、データ数は4096個、PE数はCM-5が1,4,15,64個、nCUBEが1,4,15,64,256個としたときの実測値をそれぞれ、図3と図4に示す。図3に示すように、アルゴリズム1aのようにatomic転送を用いる場合、CM-5、nCUBEともに、その処理時間のほとんどを通信時間が占めることになってしまうことが分かる。特にCM-5の場合は、1個だけで実行したときに約200msecであった実行時間が、4個で実行した時に約254msecに増加してしまっている。一方、図4に

示すように、アルゴリズム1bでは、同一PEへのデータを一括転送する事で、通信時間は減少し、大幅な速度向上が得られることが分かる。

6. おわりに

2つの基数4の並列FFTアルゴリズム、Stage-by-stage法とMulti-stage法を説明した。さらに、Stage-by-stage法をCM-5およびnCUBEへ実装したときの実測値も示した。本アルゴリズムを実装する際には、転送がatomic typeで行われるのかそうでないのかが重要なポイントとなる。もし、atomic転送しかサポートしていなければ、Multi-stage法が、一括転送をサポートしていれば、Stage-by-stage法が有利であることを示した。

参考文献

- (1)J.W.Cooley and J.W.Tukey, "An Algorithm for the Machine Calculation of Complex Fourier Series", Math.Comput., Vol.19, pp.297-301(1965).
- (2)川又, 樋口, "多次元デジタル信号処理の基礎 (VI・完)", 電情通学誌, Vol.74, No. 10, pp. 1098-1108(1991).
- (3)馬場敬信, "超並列マシンへの道", 情報処理, Vol.32, No. 4, pp.348-364 (1991).

// Algorithm 1 Stage-by-stage

```
// 重畳割付
SuperpositionMapping();

// i段目のFFTと再割付
for (i=1; i<=q; i++) {
    FFT_stage_i(i, 1);
    ReMapping(i, 1);
}
// (q+1)~m段目のFFT:(m-q)段
for (k=1; i<=m; i++, k++) {
    FFT_stage_i(i, k);
}

図1 アルゴリズム1
```

// Algorithm 2 Multi-stage

```
// 重畳割付
SuperpositionMapping();

// j×f~(j×f+(m-q))段目のFFT
//と再割付
for (j=0, f=ceil(q/(m-q)); j<f; j++) {
    for (k=1; k<=(m-q); k++) {
        i=j*f+k;
        FFT_stage_i(i, k);
    }
    ReMapping(j, (m-q));
}
// FFT (m-(m-q)*f)段: 最大(m-q)段
for (k=m-(m-q)*f; i<=m; i++, k++) {
    FFT_stage_i(i, k);
}

図2 アルゴリズム2
```

表1 再割付回数と通信回数

アルゴリズム	転送先数	要転送データ数	再割付回数	通信回数
Algorithm 1a	$4^1-1=3$	$4^3 \times (4^1-1)/4^1=48$	3	$48 \times 3=144$
Algorithm 1b	$4^1-1=3$	$4^3 \times (4^1-1)/4^1=48$	3	$3 \times 3=9$
Algorithm 2	$4^3-1=63$	$4^3 \times (4^3-1)/4^3=63$	1	$63 \times 1=63$

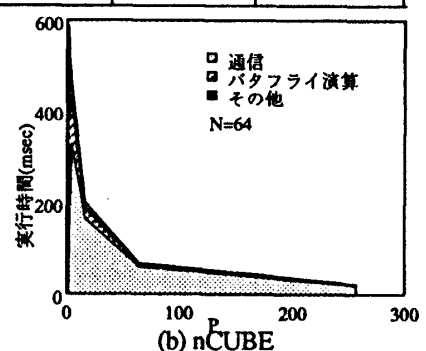
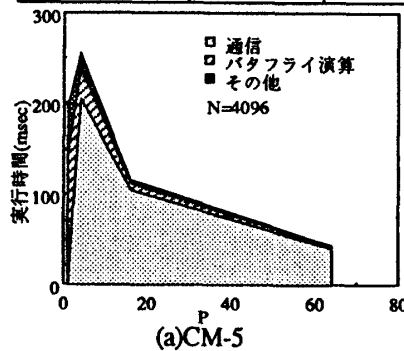


図3 アルゴリズム1aの実行時間

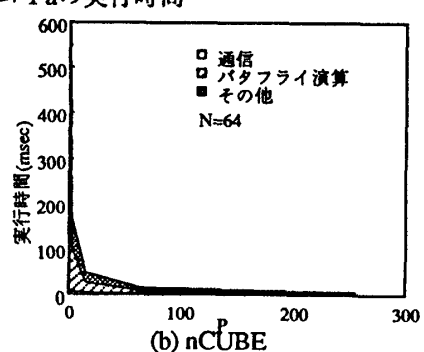
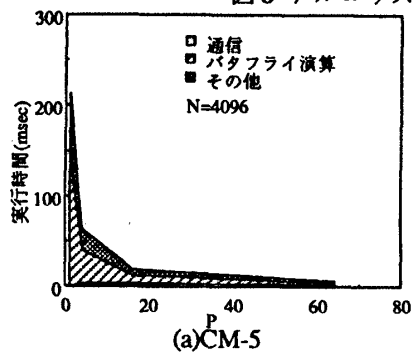


図4 アルゴリズム1bの実行時間